

где  $c$  — скорость температурной волны. Эта функция является решением задачи

$$\frac{\partial u}{\partial t} = \frac{\partial}{\partial x} \left( \kappa_0 u^\sigma \frac{\partial u}{\partial x} \right), \quad x > 0, \quad t > 0,$$

$$u(x, 0) = 0, \quad u(0, t) = u_0 t^{1/\sigma}, \quad \text{где} \quad u_0 = \left( \frac{\sigma c^2}{\kappa_0} \right)^{1/\sigma}.$$

Для этого примера по схеме (119) были проведены расчеты с параметрами  $\sigma = 2$ ,  $\kappa_0 = 0,5$ ,  $c = 5$ ,  $h = 0,2$  (число точек  $N = 50$ ) и шагом  $\tau = 2 \cdot 10^{-4}$ . Точное решение и результаты расчета нанесены на рис. 87. Всюду, кроме нескольких ближайших к фронту узлов, отклонение сосчитанного решения от точного не превосходит 0,02. Число итераций  $v \leq 3$  ( $\epsilon = 10^{-3}$ ). Сплошная линия на рис. 87 — точное решение, кружки — расчетные точки<sup>1)</sup>.

Отметим, что схема (122) немонотонна и поэтому при расчете температурной волны дает худшие результаты по сравнению с монотонной схемой (119).

### § 3. Метод конечных разностей для решения задачи Дирихле

**1. Разностная аппроксимация оператора Лапласа.** Пусть на плоскости  $(x_1, x_2)$  задана область  $G$ , ограниченная замкнутой кривой  $\Gamma$ . Рассмотрим задачу Дирихле (см. гл. IV)

$$\Delta u = \frac{\partial^2 u}{\partial x_1^2} + \frac{\partial^2 u}{\partial x_2^2} = -f(x) \quad \text{в } G, \quad u|_{\Gamma} = \mu(x_1, x_2). \quad (1)$$

Для решения задачи (1) методом конечных разностей надо в области  $G + \Gamma$  ввести сетку и аппроксимировать на этой сетке уравнение и краевое условие.

Начнем с аппроксимации оператора Лапласа. Заменим каждую из вторых производных  $\frac{\partial^2 u}{\partial x_1^2}$ ,  $\frac{\partial^2 u}{\partial x_2^2}$  разностными выражениями:

$$\frac{\partial^2 u}{\partial x_1^2} \sim \frac{u(x_1 + h_1, x_2) - 2u(x_1, x_2) + u(x_1 - h_1, x_2)}{h_1^2} = u_{\bar{x}_1, x_2} = \Lambda_1 u,$$

$$\frac{\partial^2 u}{\partial x_2^2} \sim \frac{u(x_1, x_2 + h_2) - 2u(x_1, x_2) + u(x_1, x_2 - h_2)}{h_2^2} = u_{\bar{x}_2, x_1} = \Lambda_2 u,$$

где  $h_\alpha$  — шаг по  $x_\alpha$ ,  $\alpha = 1, 2$ .

<sup>1)</sup> См. А. А. Самарский, И. М. Соболь. Примеры численного расчета температурных волн, Ж. вычисл. матем. и матем. физ. 3, № 4, 702—719 (1963).

Оператор Лапласа  $\Delta u$  заменим разностным оператором

$$\Delta u = u_{\bar{x}_1 \bar{x}_1} + u_{\bar{x}_2 \bar{x}_2}, \quad (2)$$

который определен на пятиточечном шаблоне («крест»), состоящем из точек  $(x_1, x_2)$ ,  $(x_1 - h_1, x_2)$ ,  $(x_1 + h_1, x_2)$ ,  $(x_1, x_2 - h_2)$ ,  $(x_1, x_2 + h_2)$ . Он изображен на рис. 88, а). Вычислим погрешность аппроксимации для оператора  $\Lambda$ . Так как (см. п. 2 § 1)

$$u_{\bar{x}_a \bar{x}_a} = \frac{\partial^2 u}{\partial x_a^2} + \frac{h_a^2}{12} \frac{\partial^4 u}{\partial x_a^4} + O(h_a^4),$$

$$a = 1, 2,$$

$$\Lambda u - \Delta u = \frac{h_1^2}{12} L_1^2 u + \frac{h_2^2}{12} L_2^2 u + O(h_1^4 + h_2^4), \quad L_a = \frac{\partial^2}{\partial x_a^2}$$

и, следовательно,

$$\Lambda v - \Delta v = O(|h|^2),$$

$$|h|^2 = h_1^2 + h_2^2,$$

где  $v$  — любая функция, имеющая не менее четырех производных по  $x_1$  и  $x_2$  ( $v \in C^{(m)}$ ,  $m \geq 4$ ). Таким образом, оператор  $\Lambda$  аппроксимирует оператор Лапласа со 2-м порядком.

Нетрудно убедиться в том, что оператор

$$\Lambda' v = \Lambda v + \frac{h_1^2 + h_2^2}{12} \Lambda_1 \Lambda_2 v, \quad (3)$$

определенный на девятиточечном шаблоне («ящик») (рис. 88, б), имеет на решении  $u = u(x)$  уравнения  $\Delta u = 0$  4-й порядок аппроксимации ( $\Lambda' u - \Delta u = O(|h|^4)$  при  $u \in C^{(m)}$ ,  $m \geq 6$ ) и 6-й порядок ( $\Lambda' u - \Delta u = O(h^6)$  при  $u \in C^{(m)}$ ,  $m \geq 8$ ) на квадратной сетке, т. е. при  $h_1 = h_2 = h$ .

Напишем подробнее выражение для  $\Lambda$  в случае  $h_1 = h_2 = h$  (на квадратной сетке)

$$\Lambda y = y_{\bar{x}_1 \bar{x}_1} + y_{\bar{x}_2 \bar{x}_2} = \frac{y_1 + y_2 + y_3 + y_4 - 4y_0}{h^2}.$$

Разрешая уравнение  $\Delta y = 0$  относительно  $y_0$ , получим

$$y_0 = \frac{1}{4} (y_1 + y_2 + y_3 + y_4).$$

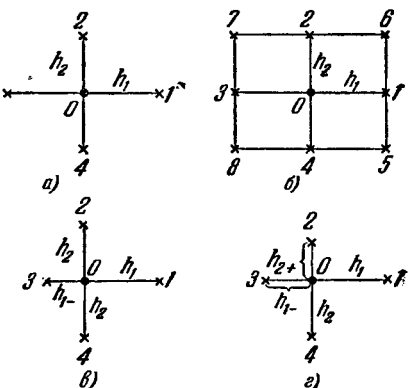


Рис. 88.

Значение  $y$  в центре шаблона есть среднее арифметическое значений в остальных узлах шаблона. Эта формула является разностным аналогом формулы среднего значения для гармонической функции.

Уравнение Пуассона  $\Delta u = -f(x_1, x_2)$  заменяется схемой

$$\Delta y = -\varphi(x), \quad \varphi(x) = \varphi(x_1, x_2) = f(x_1, x_2). \quad (4)$$

Перейдем теперь к построению разностного аналога задачи Дирихле (1) в области  $G + \Gamma$ . Проведем два семейства параллельных прямых  $x_1 = i_1 h_1$ ,  $x_2 = i_2 h_2$ ,  $i_1, i_2 = 0, \pm 1, \dots$  (будем считать, что начало координат  $(0, 0)$  лежит внутри  $G$ ). Точки  $(i_1 h_1, i_2 h_2)$  назовем узлами. Узлы  $x = (i_1 h_1, i_2 h_2)$  и  $x' = (i'_1 h_1, i'_2 h_2)$  назовем соседними, если они лежат на прямой, параллельной либо оси  $x_1$ , либо оси  $x_2$  и отстоят друг от друга на расстоянии шага ( $h_1$  или  $h_2$ ), так что  $|i'_1 - i_1| + |i'_2 - i_2| = 1$ .

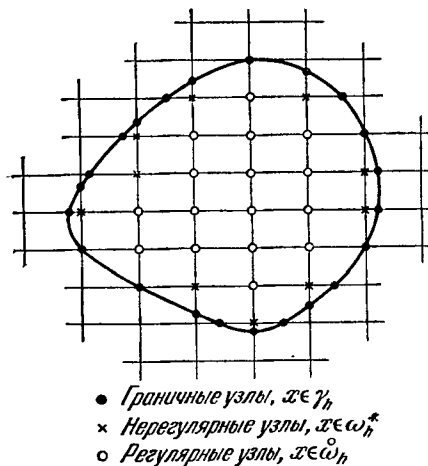
Узел  $x = (i_1 h_1, i_2 h_2)$  называется регулярным, если его соседние узлы  $((i_1 \pm 1)h_1, i_2 h_2)$ ,  $(i_1 h_1, (i_2 \pm 1)h_2)$ , образующие пятиточечный шаблон «крест», находятся либо внутри области  $G$ , либо на ее границе. Если хотя бы один из этих четырех соседних узлов не принадлежит  $G + \Gamma$ , то узел  $x = x^*$  назовем нерегулярным. Обозначим  $\omega_h$  множество всех регулярных узлов,  $\omega_h^*$  — множество всех нерегулярных узлов. Точки пересечения прямых  $x_1 = i_1 h_1$ ,  $x_2 = i_2 h_2$  с границей  $\Gamma$  назовем граничными узлами. Множество всех граничных узлов назовем границей сетки и обозначим  $\gamma_h$ . Таким образом, области  $G + \Gamma$  ставится в соответствие сетка  $\bar{\omega}_h(G + \Gamma)$ , т. е. множество точек  $x \in \bar{\omega}_h$ , где  $\bar{\omega}_h = \omega_h + \omega_h^* + \gamma_h$  (рис. 89).

Рис. 89.

$= i_2 h_2$  с границей  $\Gamma$  назовем граничными узлами. Множество всех граничных узлов назовем границей сетки и обозначим  $\gamma_h$ . Таким образом, области  $G + \Gamma$  ставится в соответствие сетка  $\bar{\omega}_h(G + \Gamma)$ , т. е. множество точек  $x \in \bar{\omega}_h$ , где  $\bar{\omega}_h = \omega_h + \omega_h^* + \gamma_h$  (рис. 89).

Будем предполагать, что сетка обладает свойством связности, т. е. любые два внутренних узла можно соединить ломаной, целиком лежащей внутри  $G$  и состоящей из звеньев, соединяющих узлы сетки и параллельных либо  $Ox_1$ , либо  $Ox_2$ .

В регулярных узлах пишем разностное уравнение (4), используя пятиточечный шаблон «крест» с шагами  $h_1$  и  $h_2$ .



В граничных узлах  $x \in \gamma_h$  задаем значение искомой функции

$$y = \mu(x), \quad x \in \gamma_h. \quad (5)$$

В нерегулярных узлах могут быть написаны различные условия.

1) Интерполяция нулевого порядка.  
Значение  $y(x)|_{\omega_h^*}$  полагается равным  $\mu(\bar{x})$  в ближайшем узле  $\bar{x}$  границы  $\gamma_h$ :  
 $y(x) = \mu(\bar{x}) \quad \text{при } x \in \omega_h^*. \quad (6)$

2) Интерполяция первого порядка.  
Значение  $y(x)|_{\omega_h^*}$  определяется при помощи линейной интерполяции. Например, для случая, изображенного на рис. 90, значение  $y_0$  в узле  $O$  определяется по формуле

$$\left( \frac{1}{h_1} + \frac{1}{h_{1-}} \right) y_0 = \frac{1}{h_1} y_1 + \frac{1}{h_{1-}} y_3, \quad (7)$$

которую можно записать в виде

$$\Lambda_1 y = 0, \quad \text{где } \Lambda_1 y = y_{\bar{x}_1, \bar{x}_1},$$

$\Lambda_1 u$  — аппроксимация оператора  $L_1 u = \frac{\partial^2 u}{\partial x_1^2}$  на неравномерной сетке (см. § 1, п. 2).

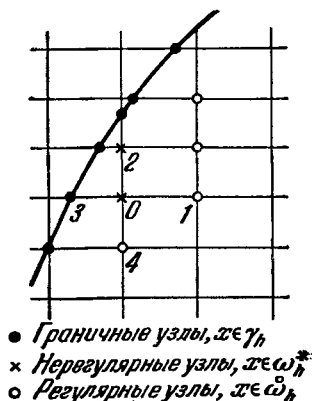
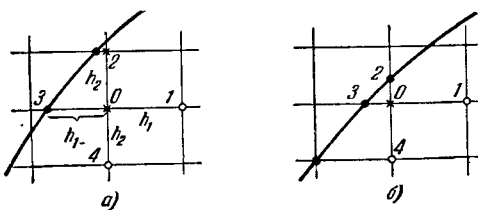


Рис. 90.



$$\begin{aligned} \Lambda_1 y_0 &= \frac{1}{h_1} \left( \frac{y_1 - y_0}{h_1} - \frac{y_0 - y_3}{h_{1-}} \right), \quad \Lambda_2 y_0 = \frac{1}{h_2} \left( \frac{y_2 - y_0}{h_{2+}} - \frac{y_0 - y_4}{h_2} \right), \quad \Lambda y = \Lambda_1 y + \Lambda_2 y \\ h_1 &= 0.5(h_{1-} + h_1), \quad h_2 = 0.5(h_{2+} + h_2), \quad h_{1-} = \overline{0} \bar{3}, \quad h_{2+} = \overline{0} \bar{2} \end{aligned}$$

Рис. 91.

3) Интерполяция второго порядка. В узле  $x \in \omega_h^*$  пишется пятиточечная схема на нерегулярном шаблоне (на неравномерной сетке)

$$\Lambda^* y = y_{\bar{x}_1, \bar{x}_1} + y_{\bar{x}_2, \bar{x}_2} = -\Phi. \quad (8)$$

Нерегулярный шаблон изображен на рис. 91, а и 88, в. Узел 3 является граничным, 1, 2, 4 — внутренние. Пусть  $h_{1-}$  — расстояние между узлами 3 и 0. Тогда  $\Lambda_1 y = \frac{1}{h_1} \left( \frac{y_1 - y_0}{h_1} - \frac{y_0 - y_3}{h_{1-}} \right) = y_{\bar{x}_1 \xi_1}$ ,  $h_1 = \frac{h_1 + h_{1-}}{2}$  (см. § 1, п. 2)  $\Lambda_2 y = \frac{1}{h_2^2} (y_2 - 2y_0 + y_4) = y_{\bar{x}_2 \xi_2}$ ,  $\Lambda y = \Lambda_1 y + \Lambda_2 y$ . Второй случай изображен на рис. 91, б и 88, г. Узлы 2 и 3 находятся на границе,  $h_{2+}$  — расстояние между узлами 2 и 0. В этом случае

$$\begin{aligned}\Lambda_1 y &= \frac{1}{h_1} \left( \frac{y_1 - y_0}{h_1} - \frac{y_0 - y_3}{h_{1-}} \right) = y_{\bar{x}_1 \xi_1}, \\ \Lambda_2 y &= \frac{1}{h_2} \left( \frac{y_2 - y_0}{h_{2+}} - \frac{y_0 - y_4}{h_2} \right) = y_{\bar{x}_2 \xi_2},\end{aligned}$$

где  $h_2 = 0,5(h_2 + h_{2+})$ . Мы будем рассматривать 3-й способ задания условий на  $\omega_h^*$ . Как будет показано ниже, он является наиболее точным.

Сформулируем теперь разностную краевую задачу, соответствующую задаче (1):

$$\Lambda y + \varphi = 0, \quad x \in \overset{\circ}{\omega}_h, \quad (9)$$

$$\Lambda^* y + \varphi = 0, \quad x \in \omega_h^*, \quad (10)$$

$$y = \mu, \quad x \in \gamma_h. \quad (11)$$

Возникают два вопроса: 1) о разрешимости задачи, т. е. о существовании решения системы алгебраических уравнений (9) — (11); 2) о сходимости и точности схемы (9) — (11). Ответы на эти вопросы мы получим ниже при помощи принципа максимума.

Чтобы оценить погрешность, с которой мы определяем решение задачи (1) из уравнений (9) — (11), нужно оценить разность  $y(x) - u(x) = z(x)$ , где  $y(x)$  — решение задачи (9) — (11),  $u(x)$  — решение задачи (1), взятое в узлах сетки  $\bar{\omega}_h$ . Представляя  $y = z + u$  в (9) — (11), получим

$$\left. \begin{aligned} \Lambda z &= -\psi, & \psi &= \Lambda u + \varphi, & x &\in \overset{\circ}{\omega}_h, \\ \Lambda^* z &= -\psi^*, & \psi^* &= \Lambda^* u + \varphi, & x &\in \omega_h^*, \\ z &= 0, & & & & x \in \gamma_h. \end{aligned} \right\} \quad (12)$$

Из предыдущего следует, что  $\psi = \Lambda u + \varphi = O(|h|^2)$ , если  $\varphi = f(x)$ ,  $\psi^* = O(|h|)$  для условия (8),  $\psi^* = O(1)$  для условия (7). Чтобы оценить решение задачи (9) — (11) через правую часть, нам понадобится принцип максимума.

**2. Принцип максимума.** Рассмотрим задачу (9) — (11). Разрешим уравнение (9) относительно  $y_0$  (см. рис. 88, а):

$$2\left(\frac{1}{h_1^2} + \frac{1}{h_2^2}\right)y_0 = \frac{1}{h_1^2}(y_1 + y_3) + \frac{1}{h_2^2}(y_2 + y_4) + \varphi_0, \quad x \in \omega_h. \quad (13)$$

Пусть  $O$  — нерегулярный узел (см. рис. 88, б). Тогда из уравнения  $\Lambda^*y + \varphi = 0$  следует

$$\begin{aligned} \frac{1}{h_1}\left(\frac{y_1 - y_0}{h_1} - \frac{y_0 - y_3}{h_{1-}}\right) + \frac{1}{h_2}\left(\frac{y_2 - y_0}{h_2} - \frac{y_0 - y_4}{h_2}\right) &= -\varphi_0, \\ 2\left(\frac{1}{h_1 h_{1-}} + \frac{1}{h_2^2}\right)y_0 &= \frac{1}{h_1 h_1}y_1 + \frac{1}{h_2^2}(y_2 + y_4) + \tilde{\varphi}_0, \end{aligned} \quad (14)$$

где  $\tilde{\varphi}_0 = \varphi_0 + \frac{1}{h_1 h_{1-}}\mu(3)$ ,  $h_{1-}$  — расстояние между узлом  $O$  и граничным узлом 3,  $h_1 = 0,5(h_{1-} + h_1)$ . Из (13) и (14) видно, что обе формулы могут быть записаны в виде  $A(x)y(x) = \sum_{\xi \in \mathcal{W}'(x)} B(x, \xi)y(\xi) + F(x)$  для всех  $x \in \omega_h = \omega_h + \omega_h^*$ , где суммирование проводится по всем узлам шаблона с центром в узле  $x$ , исключая сам узел  $x$ . Коэффициенты  $A(x)$  и  $B(x, \xi)$  удовлетворяют условиям  $A(x) > 0$ ,  $B(x, \xi) > 0$ ,

$$\sum_{\xi \in \mathcal{W}'(x)} B(x, \xi) = A(x) \text{ при } x \in \overset{\circ}{\omega_h}.$$

Если  $y|_{\gamma_h} = 0$ , то по крайней мере один из коэффициентов  $B(x, \xi)$  в пограничной зоне  $\omega_h^*$  можно формально положить равным нулю, так что  $\sum_{\xi} B(x, \xi) = A(x) - D(x)$ ,  $D(x) > 0$ . Если, например, узел 3 (см. рис. 91, а) находится на  $\gamma_h$ , то  $D(x) = D(0) = \frac{1}{h_1 h_{1-}} \geq \frac{1}{h_1^2}$ , так как  $h_1 = 0,5(h_{1-} + h_1) \leq h_1$ . Если же два узла 2 и 3 (см. рис. 91, б) являются граничными, то  $D(x) = D(0) \geq \frac{1}{h_1^2} + \frac{1}{h_2^2}$ ,  $B(0, 2) = B(0, 3) = 0$ . Таким образом, при  $y|_{\gamma_h} = 0$  в  $\omega_h^*$  всегда выполнено условие

$$D(x) \geq \frac{1}{h^2}, \quad \text{где } h = \max(h_1, h_2). \quad (15)$$

Итак, рассмотрим задачу: требуется найти функцию  $y(x)$ , определенную на  $\bar{\omega}_h = \omega_h + \gamma_h$  и удовлетворяющую в  $\omega_h$  уравнению

$$\left. \begin{aligned} A(x)y(x) &= \sum_{\xi \in \mathcal{W}'(x)} B(x, \xi)y(\xi) + F(x), \quad x \in \omega_h, \\ A(x) > 0, \quad B(x, \xi) > 0, \quad \sum_{\xi \in \mathcal{W}'(x)} B(x, \xi) &\leq A(x). \end{aligned} \right\} \quad (16)$$

Справедлива следующая теорема (принцип максимума):

Если  $F(x) \leq 0$  всюду в  $\omega_h$ , то решение задачи (16) (не равное постоянной) не может принимать наибольшего положительного значения во внутренних узлах сетки  $\omega_h$ . Если же  $y(x) \not\equiv \text{const}$  и  $F(x) \geq 0$  в  $\omega_h$ , то  $y(x)$  не может принимать внутри  $\omega_h$  наименьшего отрицательного значения.

Доказательство. Пусть  $F(x) \leq 0$  во всех внутренних узлах. Допустим, что  $y(x)$  принимает положительное максимальное значение в некотором внутреннем узле. Так как  $y(x) \not\equiv \text{const}$ , то существует такая точка  $\bar{x} \in \omega_h$ , в которой  $y(\bar{x}) = \max y(x) = M_0 > 0$ , а в соседнем узле  $\tilde{\xi} \in \mathcal{W}'(\bar{x})$ , имеем  $y(\tilde{\xi}) < M_0$ . Уравнение (16) в узле  $\bar{x}$  перепишем в виде

$$\left[ A(\bar{x}) - \sum_{\xi} B(\bar{x}, \xi) \right] y(\bar{x}) + \sum_{\xi} B(\bar{x}, \xi) (y(\bar{x}) - y(\xi)) = F(\bar{x}). \quad (17)$$

Так как  $\sum_{\xi} B(\bar{x}, \xi) (y(\bar{x}) - y(\xi)) \geq B(\bar{x}, \tilde{\xi}) (y(\bar{x}) - y(\tilde{\xi})) > 0$ , то из (17) и (16) следует  $F(\bar{x}) > 0$ , что противоречит условию  $F(x) \leq 0$ . Первая часть теоремы доказана.

Вторая часть доказывается аналогично.

Следствие 1. Если  $F(x) \geq 0$ ,  $x \in \omega_h$  и  $y|_{\gamma_h} \geq 0$ , то решение задачи (16) неотрицательно:  $y(x) \geq 0$  всюду в  $\bar{\omega}_h$ . В самом деле, пусть хотя бы в одном узле  $\bar{x} \in \omega_h$  функция  $y(x)$  отрицательна; тогда она должна принимать отрицательное наименьшее значение во внутреннем узле. Это невозможно, в силу принципа максимума (если только  $y(x) \not\equiv \text{const}$ ).

Следствие 2. Если  $F(x) \leq 0$ ,  $x \in \omega_h$  и  $y|_{\gamma_h} \leq 0$ , то  $y(x) \leq 0$ , для всех  $x \in \bar{\omega}_h$ .

Следствие 3. Однородное уравнение

$$A(x)y(x) = \sum_{\xi \in \mathcal{W}'(x)} B(x, \xi) y(\xi) \quad (18)$$

при однородном граничном условии  $y|_{\gamma_h} = 0$  имеет только тригонометрическое решение.

В самом деле при  $F \equiv 0$  следствия 1 и 2 дают соответственно  $y(x) \geq 0$ ,  $y(x) \leq 0$ , т. е.  $y(x) \equiv 0$ .

Таким образом, разностная задача (16) имеет единственное решение.

Следствие 4. Для решения однородного уравнения (18) верна оценка

$$\|y\|_0 \leq \|y\|_{0, \gamma}, \quad (19)$$

где  $\|y\|_0 = \max_{x \in \bar{\omega}_h} |y(x)|$ ,  $\|y\|_{0, \gamma} = \max_{x \in \gamma_h} |y(x)|$  (решение уравнения (18) принимает наибольшее и наименьшее значение на границе  $\gamma_h$ ).

Имеет место следующая теорема сравнения:

Пусть  $y(x)$  — решение уравнения (16), а  $\bar{y}(x)$  — решение того же уравнения с правой частью  $\bar{F}(x) \geq 0$  и граничным значением  $\bar{y}|_{\gamma_h} \geq 0$ . Если выполнены условия  $|F(x)| \leq \bar{F}(x)$  при  $x \in \omega_h$ ,  $|y(x)| \leq \bar{y}(x)$  при  $x \in \gamma_h$ , то  $|y(x)| \leq \bar{y}(x)$  для всех  $x \in \bar{\omega}_h$ .

Следствие 1 сразу дает  $\bar{y}(x) \geq 0$  всюду в  $\bar{\omega}_h$ . Функции  $u = \bar{y} + y$ ,  $v = \bar{y} - y$  удовлетворяют уравнению (16) с правыми частями  $F_u = \bar{F} + F$ ,  $F_v = \bar{F} - F$  и граничными значениями  $u = \bar{y} + y|_{\gamma_h}$ ,  $v = \bar{y} - y|_{\gamma_h}$ . Так как по условию  $F_u \geq 0$ ,  $u|_{\gamma_h} \geq 0$  и  $F_v \geq 0$ ,  $v|_{\gamma_h} \geq 0$ , то, в силу следствия 1,  $u \geq 0$  или  $y \geq -\bar{y}$ ,  $v \geq 0$  или  $y \leq \bar{y}$ , т. е.  $|y| \leq \bar{y}$  при  $x \in \omega_h$ .

**3. Оценка решения неоднородного уравнения.** Рассмотрим неоднородное уравнение

$$A(x)y(x) = \sum_{\xi} B(x, \xi)y(\xi) + F(x), \quad x \in \omega_h, \quad (20)$$

с однородным граничным условием

$$y|_{\gamma} = 0.$$

Пусть выполнены условия

$$B(x, \xi) > 0, \quad \sum_{\xi} B(x, \xi) = A(x) - D(x), \quad D(x) \geq \delta > 0 \quad (21)$$

для всех  $x \in \omega_h$ .

Тогда для решения задачи (20), (21) верна оценка

$$\|y\|_0 \leq \frac{\|F\|_0}{\delta}. \quad (22)$$

В силу теоремы сравнения  $|y| \leq \bar{y}$ , где  $\bar{y}$  — решение задачи (20) с правой частью  $\bar{F} = |F|$ . Пусть  $\bar{y}(x)$  принимает наибольшее значение в узле  $\bar{x}$ . Так как  $\bar{y}(\bar{x}) > 0$ , то

$$A(\bar{x})\bar{y}(\bar{x}) = \sum_{\xi} B(\bar{x}, \xi)\bar{y}(\xi) + |F(\bar{x})| \leq (A(\bar{x}) - D(\bar{x}))\bar{y}(\bar{x}) + |F(\bar{x})|,$$

$$\bar{y}(\bar{x}) \leq \frac{|F(\bar{x})|}{D(\bar{x})} \leq \left\| \frac{F}{D} \right\|_0 \quad (\|\psi\|_0 = \max_{\bar{\omega}_h} |\psi|).$$

Учитывая, что  $\|y\|_0 \leq \bar{y}(\bar{x})$  и  $D \geq \delta$ , получаем (22). Заметим, что фактически нами получена оценка

$$\|y\|_0 \leq \left\| \frac{F(x)}{D(x)} \right\|_0.$$

Предположим, что

$$D(x) \geq \delta > 0 \quad \text{при } x \in \omega_h^* \quad \text{и} \quad D(x) \geq 0 \quad \text{при } x \in \overset{\circ}{\omega}_h, \quad (23)$$

$$F(x) = 0 \quad \text{при } x \in \overset{\circ}{\omega}_h, \quad F(x) = F^* \quad \text{при } x \in \omega_h^*. \quad (24)$$

Тогда для решения задачи (20), (23), (24) верна оценка

$$\|y\|_0 \leq \frac{1}{\delta} \|F^*\|_0. \quad (25)$$

В самом деле,  $\bar{y}(x) \geq 0$  в силу принципа максимума и не может иметь наибольшего значения в узлах  $x \in \overset{\circ}{\omega}_h$ , в которых  $F(x) = 0$ . Предполагая, что  $\bar{x} \in \overset{*}{\omega}_h$  есть точка, в которой достигается максимум, получим оценку (25).

Наибольшие трудности при оценке решения задачи (21) возникают в случае  $D(x) = 0$  при  $x \in \omega_h$ . В этом случае строится мажорантная функция  $\bar{y}(x) \geq \|y\|_0$ , удовлетворяющая уравнению (20) с правой частью  $\bar{F}(x) \geq |F(x)|$ .

Итак, если выполнено условие  $D(x) \geq \delta > 0$ ,  $x \in \omega_h$ , то для решения задачи (20) — (21) верна оценка

$$\|y\|_0 \leq \|y\|_{0,\gamma} + \frac{\|F\|_0}{\delta}, \quad (26)$$

выражающая непрерывную зависимость решения от граничных данных и от правой части.

**4. Сходимость решения разностной задачи Дирихле.** Чтобы установить сходимость и порядок точности схемы (9) — (11), мы должны оценить решение задачи (12).

Погрешность аппроксимации в регулярных узлах  $\psi = (\Lambda u + \varphi) - (Lu + f) = O(|h|^2)$ , если  $u \in C^{(4)}$ , и в нерегулярных узлах  $\psi = \psi^* = O(|h|)$ .

Так как  $\|\psi^*\|_0 = O(|h|)$ , то для оценки  $z$  следует рассмотреть отдельно вклад в  $z$  за счет погрешности аппроксимации в нерегулярных узлах. Представим  $z$  в виде суммы  $z = \overset{\circ}{z} + z^*$ , где  $\overset{\circ}{z}$  и  $z^*$  — решение задачи

$$\Lambda \overset{\circ}{z} = -\overset{\circ}{\psi}, \quad x \in \omega_h, \quad \overset{\circ}{z}|_{\overset{\circ}{\omega}_h} = 0, \quad \overset{\circ}{\psi} = \begin{cases} \psi, & x \in \overset{\circ}{\omega}_h, \\ 0, & x \in \overset{*}{\omega}_h; \end{cases} \quad (27)$$

$$\Lambda z^* = -\psi^*, \quad x \in \omega_h, \quad z^*|_{\overset{\circ}{\omega}_h} = 0, \quad \psi^* = \begin{cases} 0, & x \in \overset{\circ}{\omega}_h, \\ \psi, & x \in \overset{*}{\omega}_h. \end{cases} \quad (28)$$

Так как  $\overset{\circ}{z}|_{\overset{\circ}{\omega}_h} = 0$ , то  $D(x) \geq \frac{1}{h^2} = \delta > 0$  при  $x \in \overset{*}{\omega}_h$  и  $D(x) \geq 0$  при  $x \in \overset{\circ}{\omega}_h$ .

Пользуясь (25), получаем

$$\|z^*\|_0 \leq h^2 \|\psi^*\|_0. \quad (29)$$

Для оценки  $\overset{\circ}{z}$  воспользуемся теоремой сравнения. Построим мажорантную функцию

$$U(x) = K(R^2 - r^2), \quad r^2 = x_1^2 + x_2^2,$$

где  $R$  — радиус круга с центром в точке  $(0, 0) \in G$ , содержащего область  $G$ ,  $K = \text{const} > 0$ . Вычислим разностные производные

$$\Lambda_1 r^2 = (r^2)_{\bar{x}_1 x_1} = (x_1^2)_{\bar{x}_1 x_1} = \frac{(x_1 + h_1)^2 - 2x_1^2 + (x_1 - h_1)^2}{h_1^2} = 2,$$

$\Lambda_2 r^2 = 2$  при  $x \in \omega_h^\circ$ . В нерегулярных узлах также имеем  $\Lambda_1 r^2 = 2$ . Таким образом,

$$\Lambda U = -K \Lambda r^2 = -4K \quad \text{при } x \in \omega_h = \omega_h^\circ + \omega_h^*.$$

Выберем  $K$  так, чтобы  $\|\psi\|_0 \leq 4K$ . Для этого достаточно положить  $K = \frac{1}{4}\|\psi\|_0$ . Учитывая, что  $U \geq 0$  при  $x \in \gamma_h$ ,  $U \leq KR^2 = \frac{1}{4}R^2\|\psi\|_0$  и пользуясь теоремой сравнения, находим

$$\|\tilde{z}\|_0 \leq \|U\|_0 \leq \frac{1}{4}R^2\|\psi\|_0. \quad (30)$$

Объединяя неравенства (29) и (30) и учитывая, что  $\|z\|_0 \leq \|\tilde{z}\|_0 + \|z^*\|_0$ , получаем

$$\|z\|_0 \leq h^2\|\psi^*\|_0 + \frac{1}{4}R^2\|\psi\|_0. \quad (31)$$

Тем самым доказана теорема:

Для решения задачи (12) имеет место оценка (31).

Из (31) видно, что если  $u \in C^{(2)}(\bar{G})$ , т. е. решение задачи имеет непрерывные в замкнутой области  $\bar{G} = G + \Gamma$  вторые производные, так что  $\|\psi\|_0 = \rho(|h|)$ ,  $\|\psi^*\|_0 = \rho(|h|)$ , где  $\rho(|h|) \rightarrow 0$  при  $|h| \rightarrow 0$ , то схема (9) — (11) сходится:

$$\|z\|_0 = \|y - u\|_0 = \rho(|h|). \quad (32)$$

Если  $u \in C^{(4)}(G)$ , то справедливы оценки

$$\|\tilde{\psi}\|_0 \leq \frac{M_4}{12}|h|^2, \quad \|\psi^*\|_0 \leq \frac{2}{3}M_3h, \quad \text{где } M_s = \max_{a \in \bar{G}} \left| \frac{\partial^s u}{\partial x_a^s} \right|, \quad (33)$$

( $a = 1, 2, s = 3, 4$ ). Применяя неравенство (31), видим, что для решения задачи (12) верна оценка

$$\|z\|_0 = \|y - u\|_0 \leq \frac{2}{3}M_3h^3 + \frac{M_4R^2}{48}|h|^2,$$

т. е. схема (9) — (11) равномерно сходится со скоростью  $O(|h|^2)$  (имеет 2-й порядок точности).

Заметим, что если  $y$  на  $\omega_h^*$  задавать при помощи линейной интерполяции (см. (7)), то  $\psi^* = O(1)$  и оценка (31) дает

$$\|y - u\|_0 = O(|h|^2), \quad (34)$$

т. е. и в этом случае схема (9) имеет 2-й порядок точности.

**5. Решение разностных уравнений методом простой итерации.** Для определения решения разностной задачи Дирихле (9) — (11) мы получаем систему линейных алгебраических уравнений большого порядка, равного числу внутренних узлов сетки. При точном решении этой системы известными методами линейной алгебры требуется большое число арифметических действий и большой объем оперативной памяти машины. Поэтому систему уравнений решают итерационными методами, учитывающими специальный вид матрицы системы.

В этом пункте мы рассмотрим метод простой итерации (метод Якоби). Пусть  $h_1 = h_2 = h$ . Запишем уравнение (9) на шаблоне (рис. 88, а). В регулярном узле имеем:

$$v_0^{s+1} = \frac{s}{4} \left[ \frac{h}{h^2} v_1 + \frac{s}{h} (v_2 + v_4) + \frac{s}{4h} \Phi_0 \right], \quad (35)$$

где  $s = 0, 1, 2, \dots$  — номер итерации. В нерегулярном узле (см. рис. 91, а) в случае, когда узел  $3 \in \gamma_h$ :

$$v_0^{s+1} = \frac{1}{4} \left[ \frac{h}{h^2} v_1 + \frac{h}{h} (v_2 + v_4) \right] + \frac{h^2 h}{4h} \Phi_0 + \frac{h^2}{4h^2} \mu_3, \quad (36)$$

где  $\mu_3 = \mu(3)$  — значение  $y|_{\gamma_h} = \mu$  в узле 3.

При  $s = 0$  выбирается начальное приближение  $\overset{\circ}{v} = u_0$ . Пусть  $y$  — точное решение задачи (9) — (11),  $v^s$  —  $s$ -я итерация. Итерационный процесс сходится, если разность  $v^s - y = z$  стремится (по некоторой норме) к нулю при  $s \rightarrow \infty$ . Подставляя  $v^s = y + z$  в (35) и учитывая, что  $y_0 = \frac{1}{4} (y_1 + y_2 + y_3 + y_4 + h^2 \Phi_0)$ , получим для  $z$  однородное уравнение

$$z_0^{s+1} = \frac{s}{4} \left[ \frac{h}{h^2} z_1 + \frac{s}{h} (z_2 + z_4) \right], \quad x \in \overset{\circ}{\omega}_h, \quad (37)$$

$$z_0^{s+1} = \frac{1}{4} \left[ \frac{h}{h^2} z_1 + \frac{h}{h} (z_2 + z_4) \right], \quad x \in \overset{*}{\omega}_h, \quad (38)$$

с условиями  $z|_{\gamma_h} = 0$  и начальным условием  $\overset{\circ}{z} = y - u_0$ , где  $\overset{\circ}{z}$  есть погрешность, допускаемая при выборе начального приближения.

Чтобы оценить  $z$ , надо выбрать норму  $\|\cdot\|$ , например:

$$\|z\|_{0, \overset{*}{\omega}} = \max_{x \in \overset{*}{\omega}_h} |z|, \quad \|z\|_2 = \left( \sum_{\overset{*}{\omega}_h} z^2 (i_1 h_1, i_2 h_2) h_1 h_2 \right)^{\frac{1}{2}}.$$

Будем говорить, что метод итераций (35) сходится, если  $\|v - \overset{s}{v}\| \rightarrow 0$  при  $s \rightarrow \infty$ . Обычно задают точность  $\epsilon > 0$ , с которой надо найти приближенное решение; при этом ставится требование

$$\|v - y\| \leq \epsilon \|u_0 - y\|. \quad (39)$$

Если итерации сходятся со скоростью геометрической прогрессии, т. е.  $\|v - \overset{s}{v}\| \leq \rho \|\overset{s-1}{v} - y\|$ , то условие (39) будет выполнено, если  $\rho^s < \epsilon$ . Отсюда следует, что для уменьшения начальной невязки  $\|u_0 - y\|$  в  $\frac{1}{\epsilon}$  раз достаточно сделать  $s_0 \geq \ln \frac{1}{\epsilon} / \ln \frac{1}{\rho}$  итераций.

Метод простой итерации сходится со скоростью геометрической прогрессии по норме  $\|\cdot\|_2$  (в среднем) в случае, когда  $G = (0 \leq x_\alpha \leq 1, \alpha = 1, 2)$  — квадрат и  $h_1 = h_2 = h$ , знаменатель  $\rho = 1 - 2 \sin^2 \frac{\pi h}{2} < 1$  (при  $h < \frac{1}{2}$ ) зависит от шага  $h$  сетки.

При малых  $h$   $\ln \frac{1}{\rho} \approx \frac{\pi^2 h^2}{2}$  и, следовательно,  $s_0 \approx \frac{2}{\pi^2 h^2} \ln \frac{1}{\epsilon}$ , т. е. число итераций пропорционально числу узлов  $N = \frac{1}{h^2}$  сетки. Так как на вычисление одной итерации по формулам (35), (36) затрачивается  $O\left(\frac{1}{h^2}\right)$  действий, то, чтобы получить решение задачи (9) — (11) с точностью  $\epsilon$ , надо затратить  $O\left(\frac{1}{h^4} \ln \frac{1}{\epsilon}\right)$  арифметических действий. Заметим, что погрешность в определении решения исходной задачи есть сумма погрешности  $O(h^2)$  самой разностной схемы (9) и погрешности  $O(\epsilon)$  метода итераций для решения (9). Чтобы обе эти погрешности были одного порядка, естественно выбирать  $\epsilon = O(h^2)$ . Таким образом, для метода простой итерации

$$s_0 = O\left(\frac{1}{h^2} \ln \frac{1}{h}\right).$$

В настоящее время имеются методы, которые обеспечивают точность  $\epsilon$ :

а) для прямоугольника с числом итераций  $s_0 \approx \ln \frac{1}{h} \ln \frac{1}{\epsilon}$  и общим объемом работы  $O\left(\frac{1}{h^2} \ln \frac{1}{h} \ln \frac{1}{\epsilon}\right)$ ;

б) для непрямоугольных областей с  $s_0 \approx \frac{1}{h} \ln \frac{1}{\epsilon}$  и общим объемом работы  $O\left(\frac{1}{h^3} \ln \frac{1}{\epsilon}\right)$ .

Это — методы переменных направлений, которые мы рассмотрим в § 4, п. 3.

Сравнение с ними показывает, что метод простой итерации является слишком трудоемким. Поэтому, несмотря на свою простоту, он в настоящее время почти не используется при решении разностных задач для эллиптических уравнений.

#### § 4. Разностные методы решения задач с несколькими пространственными переменными

**1. Многомерные схемы.** В § 2 мы рассматривали разностные схемы для решения задачи Дирихле в случае двух измерений ( $x_1, x_2$ ). При написании разностных схем для уравнения теплопроводности

$$\frac{\partial u}{\partial t} = \Delta u + f \quad (1)$$

первым шагом является аппроксимация оператора Лапласа. Пусть

$$\Lambda y = \Lambda_1 y + \Lambda_2 y, \quad \Lambda_a y = y_{x_a x_a}, \quad a = 1, 2, \quad (2)$$

— пятиточечный оператор на  $\omega_h$  с шагами  $h_1$  и  $h_2$ .

По аналогии с § 2, п. 2 двухслойные схемы для (1) возьмем в виде

$$\begin{aligned} \frac{y^{l+1} - y^l}{\tau} &= \Lambda(\sigma y^{l+1} + (1 - \sigma) y^l) + \varphi, \\ y^{l+1} &= y_{i_1, i_2}^{l+1} = y(i_1 h_1, i_2 h_2, t_{l+1}). \end{aligned} \quad (3)$$

Пусть  $\bar{G}$  — область на плоскости  $(x_1, x_2)$ , ограниченная кривой  $\Gamma$ . Введем в  $\bar{G} = G + \Gamma$  сетку  $\bar{\omega}_h$ , описанную в § 3. Будем рассматривать задачу

$$\left. \begin{aligned} \frac{\partial u}{\partial t} &= \Delta u + f(x, t), \quad x \in G, \quad 0 < t \leq T, \\ u(x, 0) &= u_0(x), \quad u|_{\Gamma} = \mu(x, t). \end{aligned} \right\} \quad (4)$$

Ей поставим в соответствие разностную схему (3) с краевыми условиями

$$y|_{\gamma_h} = \mu, \quad y(x, 0) = u_0(x). \quad (5)$$

По аналогии с § 2 устанавливается, что схема (3) устойчива при

$$\sigma \geqslant \frac{1}{2} - \frac{h^2}{8\tau} \text{ (если } h_1 = h_2 = h).$$

Отсюда следует, что явная схема ( $\sigma = 0$ )

$$\frac{y^{l+1} - y^l}{\tau} = \Lambda y^l + \varphi^{l+1} \quad \text{или} \quad y^{l+1} = y^l + \tau(\Lambda y^l + \varphi^{l+1}) \quad (6)$$